

LOOPS E POTENZE DI \hbar

[17.621]

L'espansione in numero di loops equivale all'espansione in potenze di \hbar .

$\overset{1}{\Rightarrow}$ Il "livello albero" (zero loop) equivale al limite classico,

$\overset{2}{\Rightarrow}$ Studiare effetti a 1 o più loop equivale a studiare effetti quantistici della teoria.

DIMOSTRAZIONE

def. Il "numero di loop" è definito come il numero di momenti indeterminati in un diagramma.

Dato un diagramma:

- ogni propagatore interno contribuisce con $\int d^4 k_i$
- ogni vertice con una $\delta^4(\sum_j k_j)$
- una $\delta^4(k_i - k_f)$ corrisponde alla conservazione del momento globale

$$\Rightarrow L = P - V + 1$$

L : # loop
 P : # propagatori interni
 V : # vertici

- Reintroducendo \hbar nell'integrale sui cammini:

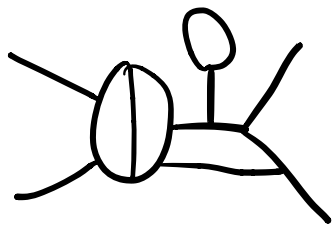
$$Z[\mathcal{J}] = \int \mathcal{D}\varphi e^{\frac{i}{\hbar}(S[\varphi] + \langle \mathcal{J}\varphi \rangle)}$$

- Ogni propagatore (interno o esterno) ha una potenza $D(x-y) \sim \hbar^1$ dato che è l'inverso del termine cinetico o dato che $[\varphi(x), \pi(y)] = i\hbar \delta^3(x-y)$

- Ogni vertice è pesato da \hbar^{-1} :

$$\exp\left(\frac{i}{\hbar} \int d^4x \mathcal{L}_{int}\left(-i\frac{\delta}{\delta \mathcal{J}}\right)\right)$$

- Dato un diagramma, la potenza in \hbar



$$\sim \hbar^D$$

$$D = E + P - V \quad \downarrow L = P - V + 1$$

$$D = E + L - 1$$

\Rightarrow Fissata una funzione di Green (E fissato) la potenza di \hbar , D , cresce col nr. di loop L .

DIVERGENZE IN TEORIA DEI CAMPI [S. 15.4]

In genere, calcolando ampiezze ad ordini superiori in teoria delle perturbazioni, si incontrano DIVERGENZE.

Esempio

$$\mathcal{L} = \frac{1}{2} (\partial_\mu \phi)^2 - \frac{m^2}{2} \phi^2 - \frac{\lambda}{4!} \phi^4$$

Calcoliamo l'ampiezza di scattering $\phi\phi \rightarrow \phi\phi$.

LIVELLO ALBERO: Tutti i momenti nei propagatori interi, se presenti, sono fissati in termini dei momenti degli stati iniziali e finali.

$$iM_1 = \begin{array}{c} \begin{array}{l} \downarrow p_1 \\ \downarrow p_2 \end{array} \\ \diagup \quad \diagdown \\ \diagdown \quad \diagup \\ \begin{array}{l} \uparrow p_1 \\ \uparrow p_2 \end{array} \end{array} = -i\lambda$$

A UN LOOP: Adesso c'è un momento libero: k

$$iM_2 = \begin{array}{c} \begin{array}{l} \downarrow p_1 \\ \downarrow p_2 \end{array} \\ \diagup \quad \diagdown \\ \text{loop} \\ \diagdown \quad \diagup \\ \begin{array}{l} \uparrow p_1 \\ \uparrow p_2 \end{array} \end{array} + \dots = (-i\lambda)^2 \frac{1}{2} \int \frac{d^4 k}{(2\pi)^4} \frac{i}{k^2 - m^2 + i\epsilon} \frac{i}{(p+k)^2 - m^2 + i\epsilon} + \dots$$

fattore di simmetria
integrale del loop

per $p \ll k$ ($|k_f| \gg |p_f|$)

$$iM_2 \sim \frac{\lambda^2}{2} \int \frac{d^4 k}{(2\pi)^4} \frac{1}{k^4} \sim \lambda^2 \int_0^{\Lambda} \frac{dk}{k} \sim \lambda^2 \ln \Lambda$$

$\Lambda \leftarrow \text{cut-off}$

È divergente per $\Lambda \rightarrow \infty$.

• Come possiamo dar senso a questi calcoli?

⇒ la soluzione sta nel fatto che i singoli diagrammi divergenti **NON SONO OSSERVABILI**.

Introduciamo quindi:

• un **REGOLATORE** (tipo Λ) che rende il conto finito

• una procedura per esprimere **PREDIZIONI** in termini di altre osservabili (**RINORMALIZZAZIONE**)

Alla fine del conto si rimuove il regolatore ($\Lambda \rightarrow \infty$) ed il risultato deve essere **INDIPENDENTE** dal regolatore.

Calcoliamo iM_2 nel caso $m=0$ (ci sono anche diagrammi t, s)

$$iM_2 = \frac{\lambda^2}{2} \int \frac{d^4k}{(2\pi)^4} \frac{1}{k^2 (p-k)^2} \quad \leftarrow \begin{array}{l} e^- \text{ uno scalare quindi pu\`o} \\ \text{dipendere solo da } p^2 = s \end{array}$$

Ci aspettiamo $iM_2 \sim \lambda^2 \log \frac{s}{\Lambda^2}$

Deriviamo in s per rimuovere la divergenza:

$$\frac{\partial}{\partial s} M_2(s) = \frac{p^\mu}{2s} \frac{\partial}{\partial p^\mu} M_2(s) = \frac{(-i)\lambda^2}{2s} p^\mu \int \frac{d^4k}{(2\pi)^4} \frac{-(p-k)_\mu}{k^2 (p-k)^2} = \frac{i\lambda^2}{2s} \int \frac{d^4k}{(2\pi)^4} \frac{(p^2 - p \cdot k)}{k^2 (p-k)^2}$$

Vedremo in seguito

$$\dots = -\frac{\lambda^2}{32\pi^2} \frac{1}{s}$$

$$\begin{array}{|l} \sim \int \frac{d^4k}{k^6} \sim \int \frac{dk}{k^2} \\ e^- \text{ finito} \end{array}$$

$$\Rightarrow M_2 = -\frac{\lambda^2}{32\pi^2} \log s + C \equiv -\frac{\lambda^2}{32\pi^2} \log \frac{s}{\Lambda^2}$$

\swarrow
 $C = \frac{\lambda^2}{32\pi^2} \log \Lambda^2$

$$\Rightarrow M(s) = -\lambda - \frac{\lambda^2}{32\pi^2} \log \frac{s}{\Lambda^2}$$

Abbiamo un risultato finito ma **dipendente da Λ** .

\Rightarrow La differenza fra due $M(s)$ è FINITA

$$M(s_1) - M(s_2) = \frac{\lambda^2}{32\pi^2} \log \frac{s_2}{s_1}$$

Ma $\sigma \propto |M|^2$ è un'osservabile, quindi come dare un senso a $M(s)$?

- La presenza del logaritmo è un tipico effetto delle correzioni radiative.
Diagrammi a livello albero sono sempre solo polinomi razionali dei momenti, masse ed accoppiamenti.

⇒ Cos'è "λ" ?

L'accoppiamento $\mathcal{L} > \frac{\lambda}{4!} \phi^4$ parametrizzata per esempio la forza dello scattering $\phi\phi \rightarrow \phi\phi$.

Possiamo quindi pensare di misurare λ a partire dal processo $\phi\phi \rightarrow \phi\phi$. Però questo non è solo proporzionale a λ ma ha anche tutti i contributi radiativi (divergenti)

⇒ DEFINIAMO l'accoppiamento RINORMALIZZATO λ_R

come l'ampiezza $\phi\phi \rightarrow \phi\phi$ a una certa energia S_0 :

$$\lambda_R \equiv -\mathcal{M}(S_0) = \lambda + \frac{\lambda^2}{32\pi^2} \log \frac{S_0}{\Lambda^2} + \dots$$

Risolviamo per λ :
da $\uparrow \sigma(S_0) \Rightarrow \lambda_R$ è finito $\Rightarrow \lambda$ è infinito per compensare $\log \Lambda^2$

$$\Rightarrow \lambda = \lambda_R + a \lambda_R^2 + \dots$$

$$\lambda_R = \left(\lambda_R + a \lambda_R^2 + \dots \right) + \frac{\left(\lambda_R + a \lambda_R^2 + \dots \right)^2}{32\pi^2} \log \frac{S_0}{\Lambda^2}$$

$$= \lambda_R + a \lambda_R^2 + \frac{\lambda_R^2}{32\pi^2} \log \frac{S_0}{\Lambda^2} \Rightarrow a = -\frac{1}{32\pi^2} \log \frac{S_0}{\Lambda^2}$$

$$\lambda = \lambda_R - \frac{\lambda_R^2}{32\pi^2} \log \frac{S_0}{\Lambda^2} + O(\lambda_R^3)$$

Esprimiamo ora l'ampiezza $M(s)$ in termini di λ_R (ottenuto da $M(s_0)$)

$$M(s) = -\lambda - \frac{\lambda^2}{32\pi^2} \log \frac{s}{\Lambda^2} = -\lambda_R + \frac{\lambda_R^2}{32\pi^2} \log \frac{s_0}{\Lambda^2} - \frac{\lambda_R^2}{32\pi^2} \log \frac{s}{\Lambda^2} + \dots =$$

$$M(s) = -\lambda_R - \frac{\lambda_R^2}{32\pi^2} \log \frac{s}{s_0}$$

⇒ Possiamo **PREDIRE** $M(s)$ a altre energie partendo da una misura fatta a s_0 .

Questa procedura per esprimere ampiezze in termini di parametri (accoppiamenti, campi, masse) definiti a partire da osservabili fisiche è chiamata **RINORMALIZZAZIONE** con uno schema **ON-SHELL**.

Una teoria che ha bisogno di un numero finito di osservabili per riassorbire tutte le divergenze in tutte le altre predizioni, è chiamata **RINORMALIZZABILE**.

Se, invece, occorre un numero infinito di osservabili, la teoria è non-rinormalizzabile.

METODI PER REGOLARIZZARE DIVERGENZE UV

Ci sono diversi metodi per regolare divergenze UV.

È importante considerare quali sono le simmetrie rotte dal regolatore.

• **CUTOFF**: $|k_E| < \Lambda \iff \sqrt{(k^0)^2 + \sum_i (k^i)^2} < \Lambda$

$\int \frac{d^4 k_E}{(2\pi)^4} \rightarrow \int \frac{d^4 k}{(2\pi)^4}$ L'integrale sul momento di loop

viene limitato a valori più piccoli di una certa scala Λ . Poi si prende il limite $\Lambda \rightarrow \infty$.

+ È molto intuitivo

- Rompe sia simm. di Lorentz (boost) che di gauge.

• PAULI - VILLARS

Ad ogni particella di massa m se ne aggiunge una analoga "fantasma" di massa Λ e di statistica opposta \Rightarrow segno opposto nel contributo a un loop.

E.g.

$$\int \frac{d^4 k}{(2\pi)^4} \frac{1}{(k^2 - m^2 + i\epsilon)^2} \rightarrow \int \frac{d^4 k}{(2\pi)^4} \left(\frac{1}{(k^2 - m^2 + i\epsilon)^2} - \frac{1}{(k^2 - \Lambda^2 + i\epsilon)^2} \right) = \dots = -\frac{i}{16\pi^2} \log \frac{m^2}{\Lambda^2}$$

+ È una chiara deformazione della teoria nell'ultravioletto

- Richiede di aggiungere tante particelle in diagrammi a molti loop

- Un termine di massa per un vettore rompe la simmetria di gauge

• REGOLARIZZAZIONE DIMENSIONALE (dim-reg) [S.B.3]

È il metodo di gran lunga più utilizzato, introdotto da 't Hooft e Veltman nel 1972.

Generalizziamo il numero di dimensioni dello spaziotempo da $4 \Rightarrow d \in \mathbb{C}$ continuazione analitica

$$\int \frac{d^4 k}{(2\pi)^4} \frac{1}{(k^2 - M^2 + i\epsilon)^2} \Rightarrow \int \frac{d^d k}{(2\pi)^d} \int_0^\infty dk \frac{k^{d-1}}{(k^2 - M^2 + i\epsilon)^2} \stackrel{UV}{\sim} \int_0^\infty dk \frac{k^{d-1}}{k^4}$$

diverge solo per $d \geq 4$.

Prendiamo quindi $d = 4 - \epsilon$, con $\epsilon > 0$.

Tutti gli integrali di loop diventano finiti,

la divergenza corrisponde ad un polo $\frac{1}{\epsilon}$ per $\epsilon \rightarrow 0$.

+ Preserva tutte le simmetrie della teoria,

+ Applicabile a calcoli multi-loop,

- Meno intuitivo degli altri metodi.

CONTABILITÀ DELLE DIVERGENZE ULTRAVIOLETTE

[PS. 10.1, S. 21]

Vogliamo capire quali diagrammi di Feynman sono divergenti e quali no.

Cominciamo considerando la QED.

Un diagramma qualsiasi sarà caratterizzato da

N_e - elettroni esterni

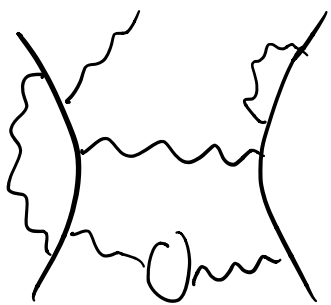
N_γ - fotoni esterni

$P_{e,\gamma}$ - propagatori fermionici/fotonici

V - numero di vertici

L - numero di loop

Un diagramma qualsiasi avrà:



$$\sim \int \frac{d^4 k_1 \dots d^4 k_L}{(k_i - m) \dots k_j^2 \dots k_n^2}$$

Ogni loop porta un $\int d^4 k \sim k^4$ come divergenza UV

Ogni propagatore fermionico $\sim \frac{1}{k}$
" fotonico $\sim \frac{1}{k^2}$

\Rightarrow Il diagramma diverge se, mettendo tutto insieme, il diagramma va con una potenza non-negativa di k .

Definiamo il **GRADO DI DIVERGENZA SUPERFICIALE**

$$D = (\text{potenze di } k \text{ al numeratore}) - (\text{potenze di } k \text{ al denominatore}) =$$

$$D = 4L - P_e - 2P_r$$

Naivamente:

⇒ Il diagramma diverge come Λ^D Λ : cutoff

Nota che Λ^0 corrisponde a $\log \Lambda$ ($\int_0^\Lambda \frac{dk}{k} \sim \log \Lambda$)

Il diagramma è finito se $D < 0$.

In realtà, i diagrammi a livello albero hanno

$D = 0$ ma sono finiti,

alcuni diagrammi possono avere un sotto-diagramma divergente anche se il diagramma complessivo ha

$D < 0$.

Possiamo però ridurci a diagrammi con le linee esterne amputate, e di tipo 1PI (irriducibili a 1 particella), dato che tutti i diagrammi connessi sono formati da un albero di diagrammi 1PI.

Notiamo che

$$L = P_e + P_\gamma - V + 1$$

⇒ Ogni propagatore ha un $\int d^4k$, ogni vertice una $\delta^4(\dots)$ ed una $\delta^4(\dots)$ e la conservazione del momento globale.

Inoltre:
$$V = 2P_\gamma + N_\gamma = \frac{1}{2}(2P_e + N_e)$$

dato che i vertici sono $\int d^4k$ e propagatori sono collegati a 2 vertici.

$$\Rightarrow D = 4(P_e + P_\gamma - V + 1) - P_e - 2P_\gamma =$$

$$D = 4 - N_\gamma - \frac{3}{2}N_e$$

Un numero limitato di diagrammi ha $D \geq 0$:

$D=4$

Diag. vuoto-vuoto
Si cancella in $Z[0]$

$D=3$

↓
= 0 per Lorentz

$D=2$

↓ $\rightarrow (g^{\mu\nu}q^2 - q^\mu q^\nu) \log \Lambda$
Sono divergenti
logaritmicamente

$D=1$

Teorema di Furry
(per coniugazione di carica)

$D=0$

↓
La parte div. è nulla
per id. di Ward

$D=1$

~ A $\not\propto$ $\log \Lambda + B \ln \log \Lambda$

$D=0 \sim \log \Lambda$

Date le simmetrie della QED, solamente 3 hanno divergenze rilevanti alla fenomenologia, e sono divergenze logaritmiche, mentre un quarto diagramma divergente è l'energia del vuoto.

⇒ Una volta regolarizzati queste poche ampiezze, tutte le altre daranno risultati FINITI.

Nota che il nr. di diagrammi divergenti è molto più alto e aumenta ad ogni ordine in th. delle perturbazioni.

POSSIAMO CLASSIFICARE LE TEORIE IN:

• TEORIE SUPER-RINORMALIZZABILI

Un numero finito di diagrammi di Feynman è divergente.

• TEORIE RINORMALIZZABILI

Un numero finito di ampiezze sono superficialmente divergenti.

• TEORIE NON-RINORMALIZZABILI

Tutte le ampiezze sono divergenti se andiamo ad un ordine sufficientemente alto in teoria delle perturbazioni.

Consideriamo la teoria di uno scalare in d dimensioni dello spaziotempo, con lagrangiana:

$$\mathcal{L} = \frac{1}{2} (\partial_\mu \phi)^2 - \frac{1}{2} m^2 \phi^2 - \frac{g}{u!} \phi^u$$

$$\left\{ \begin{array}{l} L = P - V + 1 \\ uV = N + 2P \end{array} \right.$$

L : # loop

P : # propagatori

V : # vertici

N : # gambe esterne

$$\Delta = dL - 2P = d + \left[u \left(\frac{d-2}{2} \right) - d \right] V - \left(\frac{d-2}{2} \right) N$$

- $d=4$ e $u=4$: $\Delta = 4 - N$ rinormalizzabile
- $d=4$ e $u=6$: $\Delta = 4 - N + 2V$ non-rinormalizzabile
- $d=4$ e $u > 4$: non-rinormalizzabile
- $d=3$ e $u=6$: $\Delta = 3 - \frac{N}{2}$ rinormalizzabile
- $d=3$ e $u=4$: $\Delta = 3 - \frac{N}{2} - V$ super-rinormalizzabile

\Rightarrow Per essere rinormalizzabile è necessario che

$$u \left(\frac{d-2}{2} \right) - d \leq 0$$

Questo corrisponde alla richiesta che l'accoppiamento g abbia dimensioni in energia ϵ^{Δ} con $\Delta \geq 0$.

SCALING CON L'ENERGIA

Dato un termine X che scala come E^Δ

definiamo: $[X] \equiv \Delta$

L'azione è adimensionale (scala come t^0): $[S] = 0$.

Dato $[d^d x] = -d$ e $S = \int d^d x \mathcal{L} \Rightarrow [\mathcal{L}] = d$.

Dal termine cinetico:

$$\left[\frac{1}{2} (\partial_\mu \phi)^2 \right] = 2 + 2[\phi] \equiv d \rightarrow [\phi] = \frac{d-2}{2} \quad [\phi] = 1 \text{ in } d=4$$

Prendiamo l'interazione:

$$[\lambda \phi^n] = [\lambda] + n[\phi] = [\lambda] + n \frac{(d-2)}{2} \equiv d$$

$$[\lambda] = d - n \frac{(d-2)}{2}$$

Quindi λ è adimensionale per $d=4$ e $n=4$

Il grado di divergenza superficiale è quindi

$$D = d - [\lambda]V - \left(\frac{d-2}{2} \right) N$$

\Rightarrow La teoria è rinormalizzabile per $[X] \geq 0$

Questo è generalizzabile per particelle ed accoppiamenti qualsiasi. Per $d=4$: [Se. 3.1]

N_f : # gambe esterne di un campo di spin S_f

V_i : # vertici con accoppiamento g_i , del tipo

$$\mathcal{L} \supset g_i \int d^4x \prod_f \phi_f^{n_{if}}$$

$[g_i] = 4 - d_i - \sum_f n_{if} (S_f + 1) \Rightarrow$ dimensione dell'accoppiamento g_i

$$D = 4 - \sum_f N_f (S_f + 1) - \sum_i V_i [g_i]$$

- Se tutti i $[g_i] > 0 \Rightarrow$ la teoria è SUPER-RINORMALIZZABILE
- Se tutti i $[g_i] \geq 0 \Rightarrow$ la teoria è RINORMALIZZABILE
- Se anche un solo $[g_i] < 0 \Rightarrow$ NON RINORMALIZZABILE